УДК 541.126

## ХИМИЧЕСКАЯ ТЕХНОЛОГИЯ

## В. С. БЕРМАН, С. С. НОВИКОВ, Ю. С. РЯЗАНЦЕВ

## О ПРОХОЖДЕНИИ ВОЛНЫ ГОРЕНИЯ, РАСПРОСТРАНЯЮЩЕЙСЯ ПО КОНДЕНСИРОВАННОМУ ВЕЩЕСТВУ, СКВОЗЬ ИНЕРТНУЮ ПРЕГРАДУ

(Представлено академиком В. Н. Кондратьевым 16 І 1973)

В работах (¹, ²) экспериментально исследовалось нестационарное горение конденсированных систем при взаимодействии волны горения с инертной металлической преградой, помещенной на пути распространения волны горения. В данной работе проведено теоретическое исследование прохождения волны горения сквозь инертную преграду на примере модельной конденсированной системы, горение которой не сопровождается изменением агрегатного состояния вещества (безгазовые составы).

В начальный момент времени конденсированная система с заделанной в нее металлической фольгой (рис. 1), способная к фронтальному экзотермическому превращению, приводится в соприкосновение с расположенной при  $x \leq 0$  накаленной пластиной, имеющей температуру  $T_+$ , равную адиабатической температуре горения k-системы. Предполагается, что температура пластины не меняется со временем. Начальная температура конденсированной системы равна  $T_-$ . Металлическая фольга имеет толщину  $\Delta$  и находится на расстоянии l от поверхности конденсированной системы в момент времени t=0.

Процесс нестационарного распространения фронта экзотермической химической реакции может быть описан следующей системой уравнений.

В зонах I и III, т. е. при  $0 \le x \le l$  и  $x > l + \Delta$ ,

$$\rho_1 C_1 \frac{\partial T}{\partial t} = \frac{\partial}{\partial x} \left( \lambda_1 \frac{\partial T}{\partial x} \right) + Qak \exp\left( -\frac{E}{RT} \right), \quad \rho_1 \frac{\partial a}{\partial t} = -ak \exp\left( -\frac{E}{RT} \right); (1)$$
B 30He II  $(l \le x \le l + \Delta)$ 

$$\rho_2 C_2 \frac{\partial T}{\partial t} = \frac{\partial}{\partial x} \left( \lambda_2 \frac{\partial T}{\partial x} \right). \tag{2}$$

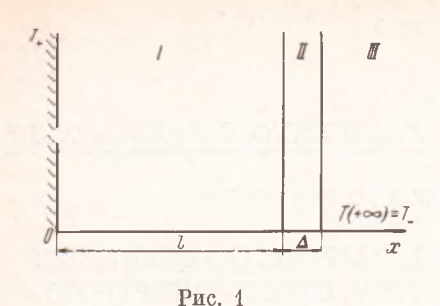
Начальные и граничные условия имеют вид  $T=T_-$ , a=1; при t=0, x>0;  $T=T_+=T_-+Q/C_1$ ; при x=0;

$$\lambda_{1} \frac{\partial T}{\partial x} \Big|_{l=0} = \lambda_{2} \frac{\partial T}{\partial x} \Big|_{l=0}; \quad \lambda_{1} \frac{\partial T}{\partial x} \Big|_{l=\Delta+0} = \lambda_{2} \frac{\partial T}{\partial x} \Big|_{l=\Delta-0}, \quad (3)$$

$$a = 1 \quad \text{при} \quad x = +\infty.$$

Здесь  $\rho_1$ ,  $\rho_2$  — плотности,  $C_1$ ,  $C_2$  — удельные теплоемкости и  $\lambda_1$ ,  $\lambda_2$  — коэффициенты теплопроводности соответственно конденсированной системы (индекс 1) и металла фольги (индекс 2); Q — тепловой эффект реакции, a — массовая доля исходного реагента, k — предэкспонент, E — энергия активации, R — газовая постоянная.

При поджигании накаленной стенкой выход волны горения на стационарный режим распространения происходит на расстояниях порядка толщины стационарного теплового слоя  $x_T = \lambda_1 / \rho_1 C_1 u_0$  (3). В рассматриваемом случае для исключения влияния условий поджигания соблюдалось неравенство  $l \gg x_T$ . Весь процесс естественно разделяется на три стадии: формирование стационарного фронта, распространение стационарного



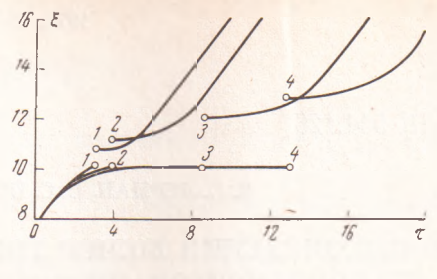


Рис. 2

фронта и его взаимодействие с инертной преградой (собственно прохождение). При анализе следует учитывать, что  $\lambda_2 / \lambda_1 \sim 10^3$ .

Дальнейший анализ проводится в следующих безразмерных величинах:

$$\xi = \frac{x}{\Delta x}; \quad \Delta x = \frac{\lambda_1}{\rho_1 C_1 u_0}; \quad u_0 = \left[\frac{k}{Q} \frac{R T_+^2}{E} \frac{\lambda_1}{\rho_1} \exp\left(-\frac{E}{R T_+}\right)\right]^{1/2}; \quad \sigma = C_1 T_-/Q;$$

$$\tau = t u_0 / \Delta x; \quad \theta = (T - T_-) C_1 / Q; \quad \beta = E / R T_+; \quad \delta = \Delta / \Delta x; \quad L = l / \Delta x;$$

$$m(\xi) = \begin{cases} 1 & \xi \notin [L, L + \delta]; \\ \frac{C_2 \rho_2}{C_1 \rho_1} & \xi \in [L_1 L + \delta]; \end{cases} \quad S(\xi) = \begin{cases} 1 & \xi \notin [L, L + \delta]; \\ \lambda_2 / \lambda_1 & \xi \in [L, L + \delta]; \end{cases}$$

$$n(\xi) = \begin{cases} \frac{k \Delta x}{u_0} e^{-\beta} & \xi \notin [L, L + \delta]; \\ 0 & \xi \in [L, L + \delta]. \end{cases}$$

$$(4)$$

Уравнения (1), (2) примут вид

$$m(\xi) \frac{\partial \theta}{\partial \tau} = \frac{\partial}{\partial \xi} \left\langle S(\xi) \frac{\partial \theta}{\partial \xi} \right\rangle + n(\xi) a \exp\left[\frac{\beta(\theta - 1)}{\sigma + \theta}\right];$$

$$\frac{\partial a}{\partial \tau} = -n(\xi) a \exp\left[\frac{\beta(\theta - 1)}{\sigma + \theta}\right].$$
(5)

Здесь автоматически выполнены условия сшивки (3). Начальные и граничные условия записываются в виде

$$\tau = 0$$
,  $\theta = 0$ ,  $a = 1$ ;  $\xi = 0$ ,  $\theta = 1$ ;  $\xi = \infty$ ,  $a = 1$ ,  $\theta = 0$  (6)

За скорость распространения фронта принималась скорость движения максимума функции объемной скорости тепловыделения

$$a\eta(\xi)\exp\left[\frac{\beta(\theta-1)}{\theta+\delta}\right]=a\varphi(\xi,\theta).$$

Решение системы (5), (6) проведено конечно-разностными методами. Поскольку  $S(\xi)$  представляет собой сильно меняющийся коэффициент, то для первого из уравнений (5) применялся потоковый вариант метода прогонки ( $^3$ ,  $^4$ ). Второе уравнение из системы (5) интегрировалось по схеме ( $^5$ )

$$a_{i-1/2}^{j+1} = a_{i-1/2}^{j} [1 + \Delta \tau \varphi_{i-1/2}^{j}]^{-1}.$$
 (7)

Первое из уравнений системы (5) интегрировалось затем по схеме

$$\begin{split} \frac{\theta_{i-1/_{2}}^{j+1}-\theta_{i-1/_{2}}^{j}}{\Delta\tau} &= \frac{W_{i-1}^{j+1}-W_{i}^{j+1}}{h_{i-1/_{2}}} + a_{i-1/_{2}}^{j+1}\phi_{i-1/_{2}}^{j};\\ W_{i}^{j+1} &= -S_{i}\frac{\theta_{i-1/_{2}}^{j+1}-\theta_{i-1/_{2}}^{j-1}}{h_{i}}. \end{split}$$

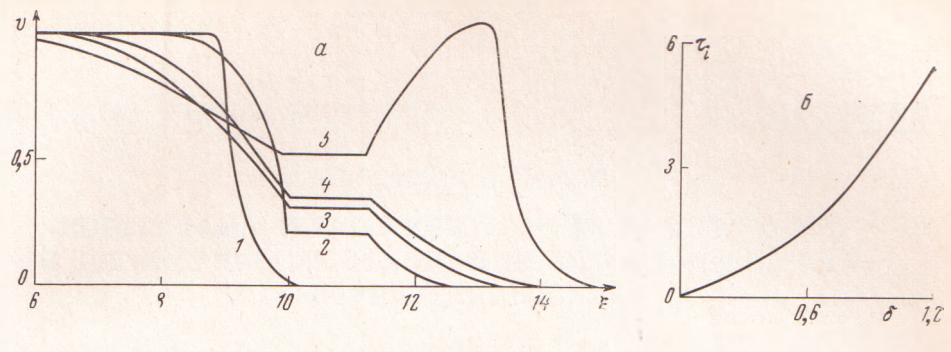


Рис. 3

Были введены две сетки

$$(x_{1/2}, x_{3/2}, \dots, x_{N-1/2})$$
 с шагами  $h_0 / 2 = x_{0.5},$   $h_i = x_{i+1/2} - x_i; \quad i = 1, 2, \dots, N-1; \ h_{N/2} = 1 - x_{N-1/2},$   $(x_0 = 0; \ x_i = x_{i-1} + h_i; \ i = 1, 2, \dots, N) \ \hbar_i = \frac{h_i + h_{i-1}}{2}$  .

Такая схема позволяет проводить сквозной расчет распределения температуры без выделения точек разрыва коэффициентов. Расчеты проводились для значений параметров  $E=3\cdot10^4$  кал/моль;  $T_-=300^\circ$  K;  $Q=4\cdot10^2$  кал/г;  $\rho_1=1.5$ ,  $\rho_2=8.9$  г/см³;  $\lambda_1=0.00045$ ,  $\lambda_2=0.94$  кал/сек² град;  $C_1=0.3$ ,  $C_2=0.092$  кал/г град;  $k=4.8\cdot10^6$  сек $^{-1}$ . Рассматривался случай медной фольги, толщина которой изменялась в пределах  $\delta=0.3-2$ .

Результаты расчетов представлены на рис. 2 и 3. На рис. 2 изображена зависимость координаты  $x_m$  максимума объемной скорости тепловыделения от времени. Из рис. 2 следует, что при  $L-x_m\sim 1$  начинается заметное тепловое взаимодействие зоны горения с инертной металлической преградой. Скорость горения (равна тангенсу угла наклона кривой  $x_m(\tau)$  к оси  $\tau$ ) падает до нуля. После того как координата максимума функции тепловыделения достигнет точки  $\xi=L-0$ , начинается заметный рост тепловыделения в области  $\xi>L+\delta$ . При  $a\phi|_{L-0}=a\phi|_{L+\delta}$  происходит «проскок» волны горения через преграду с дальнейшим формированием стационарной волны горения (рис. 3a). Время задержки волны горения на инертной преграде  $\tau_i$  можно определить из рис. 2. Зависимость величины  $\tau_i$  от безразмерной толщины преграды  $\delta$  представлена на рис. 36. Следует отметить, что экспериментальное определение зависимости  $\tau_i(\delta)$  дает возможность определить кинетические характеристики k-системы.

Институт химической физики Академии наук СССР Москва Поступ**ило**1 I 1973

## ЦИТИРОВАННАЯ ЛИТЕРАТУРА

<sup>1</sup> С. С. Новиков, Ю. С. Рязанцев и др., ДАН, 187, № 3 (1969). <sup>2</sup> S. S. Novikov, Yu. S. Ryazantsev, АІАА Ј., 8, № 7 (1970). <sup>3</sup> А. Г. Мержанов, Б. И. Хайкин, К. Г. Шкадинский, Журн. прикл. мех. и техн. физ., № 5 (1969). <sup>4</sup> А. М. Дегтярев, А. П. Фаворский, Журн. вычислит. матем. и матем. физ., 8, № 3 (1968). <sup>5</sup> А. А. Самарский, Введение в теорию разностных схем, «Наука», 1971. <sup>6</sup> В. Т. Гонтковская, Сборн. Тепло- и массообмен, 6, Минск, 1966.